

УДК 537.311

## ТОКОВЫЕ СОСТОЯНИЯ СИММЕТРИЧНЫХ МЕЗОСКОПИЧЕСКИХ СВЕРХПРОВОДЯЩИХ КОЛЕЦ КОНЕЧНОЙ ШИРИНЫ

Третьяк Д. Н.<sup>1</sup>, Тумаев Е. Н.<sup>2</sup>

THE CURRENT STATES OF THE SYMMETRIC MESOSCOPIC SUPERCONDUCTING FINITE-WIDTH RINGS

Tretyak D. N.<sup>\*</sup>, Tumayev E. N.<sup>\*</sup><sup>\*</sup> Kuban State University, Krasnodar, Russia, e-mail: tumayev@phys.kubs.ru

*Abstract:* The analytic and numerical investigation of the stable states of the superconducting mesoscopic finite-width ring placed in the external magnetic field is carried. It is shown by the numerical calculations that for the finite-width ring the quantization of the magnetic field flux is obtained. However by the opportunity of the null-width ring only finite number of stable states takes place.

*Keywords:* superconductivity, Ginzburg-Landau equation, mesoscopic rings, magnetic flux quantization.

Сверхпроводящие мезоскопические кольца диаметром несколько микрон толщиной 40–70 нм и шириной 200–400 нм при температуре порядка  $0,95T_c$  представляют собой уникальные сверхчувствительные преобразователи энергии инфракрасного излучения в электрический ток, принцип действия которых основан на дискретности спектра токовых состояний сверхпроводящего кольца, вследствие чего даже незначительное внешнее воздействие приводит к их скачкообразной смене. Результаты теоретических и экспериментальных исследований симметричных и асимметричных сверхпроводящих колец приведены в целой серии работ А. В. Никулова с соавторами [1], в которых обсуждается использование системы соединенных колец в качестве нетрадиционного источника энергии.

Для исследования токовых состояний в сверхпроводящих кольцах используется уравнение Гинзбурга–Ландау [2, 3], точное решение которого, как показано в работе [4], удастся получить лишь для одномерного кольца. В настоящей статье приведены результаты численного исследования токовых состояний в симметричных сверхпроводящих кольцах конечной ширины.

Будем исходить из уравнений Гинзбурга–Ландау–Максвелла (ГЛМ) в безразмерной форме [3]

$$\left(-\frac{i}{\kappa}\nabla - \mathbf{A}\right)^2 \Psi - \Psi + \Psi^3 = 0, \quad (1)$$

<sup>1</sup>Третьяк Дмитрий Николаевич, аспирант кафедры физики и информационных систем Кубанского государственного университета; e-mail: tretjak86@mail.ru.

<sup>2</sup>Тумаев Евгений Николаевич, д-р физ.-мат. наук, профессор кафедры физики и информационных технологий Кубанского государственного университета; e-mail: tumayev@phys.kubs.ru.

$$\begin{aligned} [\nabla \times [\nabla \times \mathbf{A}]] = \\ = -\frac{i}{2\kappa} (\Psi^* \nabla \Psi - \Psi \nabla \Psi^*) - |\Psi|^2 \mathbf{A}, \quad (2) \end{aligned}$$

с граничными условиями

$$\mathbf{n} \left( -\frac{i}{\kappa} \nabla - \mathbf{A} \right) \Psi \Big|_{\Gamma} = 0, \quad (3)$$

где  $\kappa = 2^{3/2} e H_c \delta^2 / \hbar c$  — параметр Гинзбурга–Ландау,  $e$  — заряд электрона,  $\hbar$ ,  $c$  — постоянная Планка и скорость света,  $\delta = \sqrt{m c^2 / 8 \pi e^2 \Psi_0^2}$  — глубина проникновения магнитного поля в сверхпроводник,  $m$  — масса электрона,  $\Psi_0 = \sqrt{\alpha |\tau| / b}$  — значение параметра порядка  $\Psi(r)$  в отсутствие магнитного поля,  $\tau = (T - T_c) / T_c$ ,  $T$  — температура сверхпроводника,  $T_c$  — критическая температура,  $\alpha |\tau|$  и  $b$  — коэффициенты, входящие в разложение свободной энергии сверхпроводника по параметру порядка  $\Psi(r)$ ,  $H_c = 2 \alpha \tau \sqrt{\pi / b}$  — критическое значение напряженности магнитного поля, при котором сверхпроводящее состояние исчезает,  $\mathbf{A}(\mathbf{r})$  — вектор-потенциал электромагнитного поля,  $\mathbf{n}$  — вектор внешней нормали к границе  $\Gamma$  сверхпроводящего образца. В уравнениях (1)–(2) и условии (3) параметр порядка отнесен к величине  $\Psi_0$ , вектор-потенциал отнесен к величине  $\sqrt{2} H_c \delta$ , и радиус-вектор  $\mathbf{r}$  отнесен к глубине проникновения  $\delta$ . Второе уравнение представляет

собой уравнение Максвелла для магнитного поля,  $[\nabla \times \mathbf{H}] = \frac{4\pi}{c} \mathbf{j}$ , в правой части которого находится сверхпроводящий ток. Наличие в выражении для сверхпроводящего тока калибровочно-неинвариантного слагаемого, пропорционального вектор-потенциалу  $\mathbf{A}$ , связано с трактовкой явления сверхпроводимости как спонтанного нарушения калибровочной инвариантности.

Одним из подходов к численному решению системы уравнений Гинзбурга-Ландау является выбор параметризации  $\psi(\mathbf{r}) = \eta(\mathbf{r}) + i\xi(\mathbf{r})$ , при которой уравнения (1)-(2) запишутся в виде

$$-\frac{1}{\kappa^2} \nabla^2 \eta - \frac{2}{\kappa} \mathbf{A} \nabla \eta + (A^2 - 1 + \eta^2 + \xi^2) \eta = 0,$$

$$-\frac{1}{\kappa^2} \nabla^2 \xi - \frac{2}{\kappa} \mathbf{A} \nabla \xi + (A^2 - 1 + \eta^2 + \xi^2) \xi = 0, \quad (4)$$

$$\nabla^2 \mathbf{A} = \frac{1}{\kappa} (\xi \nabla \eta - \eta \nabla \xi) + (\eta^2 + \xi^2) \mathbf{A} = -\mathbf{j}.$$

Для численного решения системы уравнений (4), записанных в цилиндрических координатах  $(r, \varphi, z)$  с помощью метода конечных элементов использовалась программа FlexPDE. В качестве начального приближения для параметра порядка было выбрано начальное приближение вида  $\psi(\varphi) = \cos n\varphi + i \sin n\varphi$ . Особенностью системы (4) в пределе одномерного кольца, как показано в работах [4, 5], является существование двух решений для одного и того же набора параметров. Как показывают численные расчеты, эта же особенность сохраняется и для кольца конечной ширины, вследствие чего был использован численный приём, который позволяет построить вычислительную схему, сходящуюся к интересующему нас решению. Предлагаемый приём заключается в модификации первых двух уравнений системы (4) путем добавления слагаемого  $\omega$ , подобранного так, чтобы обеспечить сходимость к выбранному решению. Модифицированные уравнения ГЛМ выглядят следующим образом:

$$-\frac{1}{\kappa^2} \nabla^2 \eta - \frac{2}{\kappa} \mathbf{A} \nabla \eta + (A^2 - 1 + \eta^2 + \xi^2) \eta + \omega = 0,$$

$$-\frac{1}{\kappa^2} \nabla^2 \xi - \frac{2}{\kappa} \mathbf{A} \nabla \xi + (A^2 - 1 + \eta^2 + \xi^2) \xi + \omega = 0, \quad (5)$$

$$\nabla^2 \mathbf{A} = \frac{1}{\kappa} (\xi \nabla \eta - \eta \nabla \xi) + (\eta^2 + \xi^2) \mathbf{A} = -\mathbf{j},$$

где

$$\omega = c_1 (\eta^2 + \xi^2 - c_2) (1 + \text{sign}(c_2 - \eta^2 - \xi^2)),$$

и коэффициенты  $c_1, c_2$  подбираются из сопоставления результатов численного решения системы (5) и результатов аналитического исследования одномерного кольца [5].

Численный анализ системы (5) позволил установить, что для тонкого кольца, ширина которого значительно меньше среднего диаметра, зависимостью фазы  $\theta(r, \varphi)$  параметра порядка, записанного в экспоненциальной форме

$$\psi(r, \varphi) = f(r, \varphi) \exp[i\theta(r, \varphi)], \quad (6)$$

от радиальной координаты  $r$ , и зависимостью амплитуды  $f(r, \varphi)$  от угловой координаты  $\varphi$  можно пренебречь. Кроме того, из инвариантности кольца относительно вращений вокруг оси  $Oz$  следует, что  $\theta(r, \varphi) = n\varphi$ , где  $n$  – целое число. Итак, для тонких колец допустимо использовать следующее приближение

$$\psi(r, \varphi) = f(r) \exp(in\varphi), \quad (7)$$

справедливость которого подтверждается численным исследованием системы уравнений (4).

Уравнения (1)–(3) в общей параметризации (6), пригодной для описания колец любой ширины, имеют вид

$$-\frac{1}{\kappa^2} \nabla^2 f + f(p^2 - 1 + f^2) = 0,$$

$$\frac{1}{\kappa^2} f \nabla^2 \theta + \frac{2}{\kappa} \mathbf{p} \nabla f = 0, \quad (8)$$

$$\nabla^2 \mathbf{A} = -f^2 \mathbf{p},$$

где

$$\mathbf{p} = \frac{1}{\kappa} \nabla \theta - \mathbf{A} \quad (9)$$

– обобщенный импульс.

Для тонких колец, исследованных в работах [1–3], систему уравнений ГЛМ можно записать в виде

$$-\frac{1}{\kappa^2 r} \frac{d}{dr} \left( r \frac{df}{dr} \right) + f(p_\varphi^2 - 1) + f^3 = 0,$$

$$\frac{df}{dr} \mathbf{p} e_r = 0, \quad (10)$$

$$\nabla^2 A_\varphi - \frac{A_\varphi}{r^2} = -f^2 p_\varphi,$$

где  $p_\varphi = \frac{n}{\kappa r} - A_\varphi$  —  $\varphi$ -компонента обобщенного импульса  $\mathbf{p}$ .

Согласно второму уравнению системы (10), в плоскости кольца  $z = 0$  у вектора  $\mathbf{p}$  отлична от нуля только компонента  $p_\varphi$ , следовательно, второе уравнение системы (4) выполняется автоматически. Тогда система уравнений (10) сводится к следующим двум уравнениям:

$$-\frac{1}{\kappa^2 r} \frac{d}{dr} \left( r \frac{df}{dr} \right) + f(p_\varphi^2 - 1) + f^3 = 0,$$

$$\frac{1}{r} \frac{d}{dr} \left( r \frac{dA_\varphi}{dr} \right) - \frac{A_\varphi}{r^2} = -f^2 p_\varphi. \quad (11)$$

Осевая компонента  $B_z$  индукции магнитного поля  $\mathbf{B} = [\nabla \times \mathbf{A}]$  и плотность сверхпроводящего тока даются формулами

$$B_z = \frac{1}{r} \frac{d}{dr} (r A_\varphi), \quad (12)$$

$$\mathbf{j} = -f^2 \mathbf{p}. \quad (13)$$

В отсутствие внешнего поля уравнение Гинзбурга-Ландау для одномерного кольца, исследованного в работе [5], имеет два решения:  $f = 1$  и  $f = 0$ , поэтому при численном решении системы уравнений (11) можно в качестве начального приближения использовать значения величины  $f$ , достаточно близкие к 1 и 0 соответственно, при этом нет необходимости в дополнительном слагаемом  $\omega$ , обеспечивающем сходимость к заданному решению.

Численное исследование решений системы уравнений (5) было проведено также с помощью программы FlexPDE в широком интервале значений квантового числа  $n$ , среднего радиуса кольца  $R = (R_1 + R_2)/2$ , где  $R_1$  и  $R_2$  — внутренний и наружный диаметр кольца соответственно, ширины кольца  $w = R_2 - R_1$ . В соответствии с экспериментальными данными для алюминиевых мезоскопических колец, параметр Гинзбурга-Ландау  $\kappa$  был взят равным 0.026.

При численном исследовании были рассчитаны следующие величины:

- радиальное распределение квадрата модуля волновой функции бозе-конденсата куперовских пар  $f^2$ ;
- угловая компонента плотности сверхпроводящего тока  $j_\varphi$ ;
- угловая компоненты вектор-потенциала магнитного поля  $A_\varphi$ ;
- продольной компоненты индукции магнитного поля  $B_z$ ;

– плотность свободной энергии  $F_{en}$ , определяемая, согласно [3], равенством

$$F = |(-i\kappa^{-1}\nabla - \mathbf{A})\psi|^2 - |\psi|^2 + \frac{|\psi|^4}{2}. \quad (14)$$

Для систематизации результатов численного анализа была создана утилита для генерации и пакетного выполнения скриптов FlexPDE для различных значений вышеперечисленных параметров сверхпроводящего кольца, и считывания величин, рассчитанных программой FlexPDE из решений, найденных с ее помощью. Реализованный численный метод позволил обработать и систематизировать большой массив данных. Кроме того, построенная расчетная схема позволила определить зависимость вышеперечисленных величин от квантового числа  $n$  не только для целых значений последнего, что позволило провести более детальный численный анализ, хотя, разумеется, физический смысл имеют только такие решения системы (5), для которых число  $n$  — целое. Результаты расчета радиального распределения квадрата амплитуды параметра порядка бозе-конденсата куперовских пар  $f^2$ , и компоненты  $A_\varphi$  вектор-потенциала магнитного поля при среднем радиусе  $R = 10$ , ширине  $w = 3$ , приведены на рис. 1. Из приведенных данных видно, что амплитуда волновой функции является практически постоянной величиной, абсолютное её изменение по всей длине кольца не превышает 0,0001. На рис. 2 приведены радиальное распределение плотности тока  $j_\varphi$  и компоненты индукции магнитного поля  $B_z$ . Радиальное распределение тока, как следует из приведенного рисунка, обладает характерной особенностью: на внутренней и на внешней сторонах кольца ток течёт в разных направлениях. Таким образом, в сверхпроводящем кольце существует определённый контур, на котором ток равен нулю (контур нулевого тока).

Одной из общих зависимостей, заслуживающих внимания, является зависимость среднего значения квадрата амплитуды параметра порядка  $f^2 = |\psi|^2$  от квантового числа  $n$  для колец разной ширины (рис. 3). Среднее значение амплитуды параметра порядка вычислялось по формуле

$$\langle f^2 \rangle = S^{-1} \int_s f^2 dS,$$

где  $S$  — площадь кольца

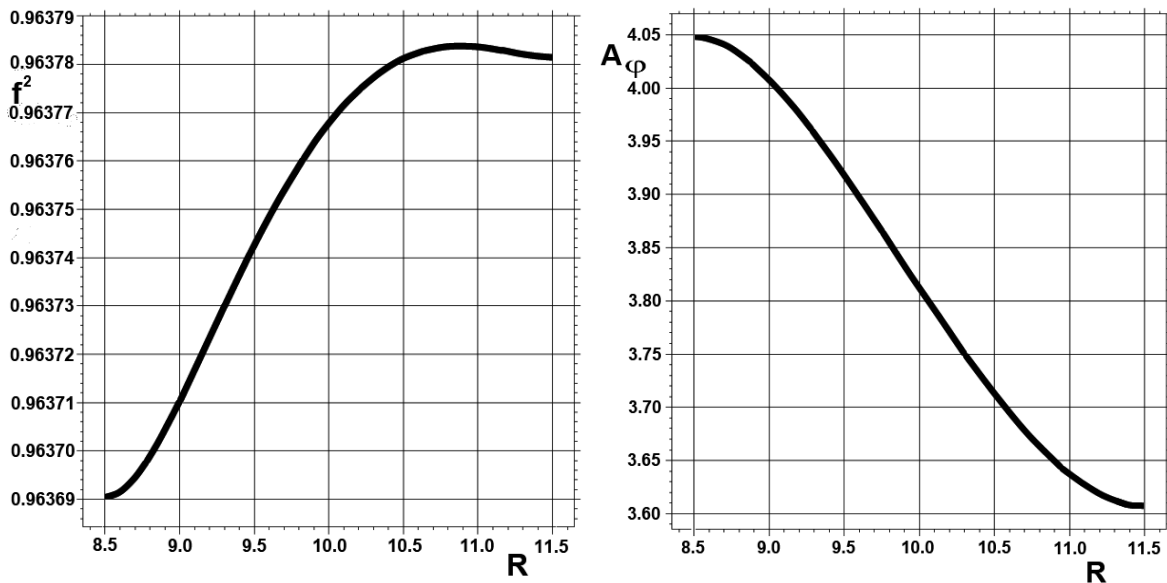


Рис. 1. Радиальное распределение квадрата амплитуды бозе-конденсата куперовских пар (слева) и вектор-потенциала магнитного поля (справа)

Из рис. 3 следует, что для колец малой ширины зависимость хорошо согласуется с результатами аналитического исследования токовых состояний одномерного тонкого кольца [5]. Существуют два токовых состояния, одно из которых устойчиво. Как и для одномерного кольца, существует максимальное значение квантового числа  $n_{\max}$ .

Вместе с тем, при увеличении ширины кольца при фиксированном среднем радиусе прослеживается уменьшение максимального значения квантового числа  $n_{\max}$ , и среднего значения  $\langle f^2 \rangle$ , что находится в согласии с общим утверждением о невозможности возбуждения сверхпроводящего тока в односвязном образце без пустот: для возникновения тока необходимо существование внутри образца хотя бы одного контура, который невозможно стянуть в точку. Отмеченное выше уменьшение величины  $n_{\max}$  при увеличении ширины кольца проиллюстрировано рис. 4. из которого видно, что указанная зависимость не является монотонной. Причина немонотонного уменьшения  $n_{\max}$  в настоящее время не имеет объяснения.

Представляет интерес зависимость радиуса, на котором ток минимален, от квантового числа  $n$  для колец разной ширины, представленная на рис. 5. Каждая кривая состоит из двух частей: верхней, соответствующей неустойчивым решениям, и нижней, соответствующей устойчивым решениям, для которых свободная энергия (14) достигает минимума. Хорошо видно, что для устойчивых ре-

шений при возрастании квантового числа  $n$  увеличивается радиус, на котором ток равен нулю. Окончания кривых отвечают выходу контура с минимальным током на внешнюю границу кольца, в этом случае контура нулевого тока не существует. Итак, для устойчивых решений ток на внешней и внутренней границах кольца течёт в разных направлениях, а для неустойчивых решений ток течёт в одном направлении.

Рассчитанные для устойчивых токовых состояний (верхняя часть кривых на рис. 3) зависимости среднего значения тока по сечению и потока индукции магнитного поля, которое охватывается контуром с нулевым током, от квантового числа  $n$ , подтверждают эквидистантное квантование магнитного потока [2, 3]. Для неустойчивых состояний эквидистантное квантование магнитного потока не имеет места.

Наряду с нахождением амплитуды параметра порядка и плотности сверхпроводящего тока внутри кольца представляет интерес расчет магнитных полей в областях вне кольца, для которых  $f = 0$ , и уравнение для компоненты  $A_\varphi$  вектор-потенциала имеет вид

$$\frac{1}{r} \frac{d}{dr} \left( r \frac{dA_\varphi}{dr} \right) - \frac{A_\varphi}{r^2} = 0. \quad (15)$$

Общее решение уравнения (15) имеет вид

$$A_\varphi(r) = C_1 r + \frac{C_2}{r}, \quad (16)$$

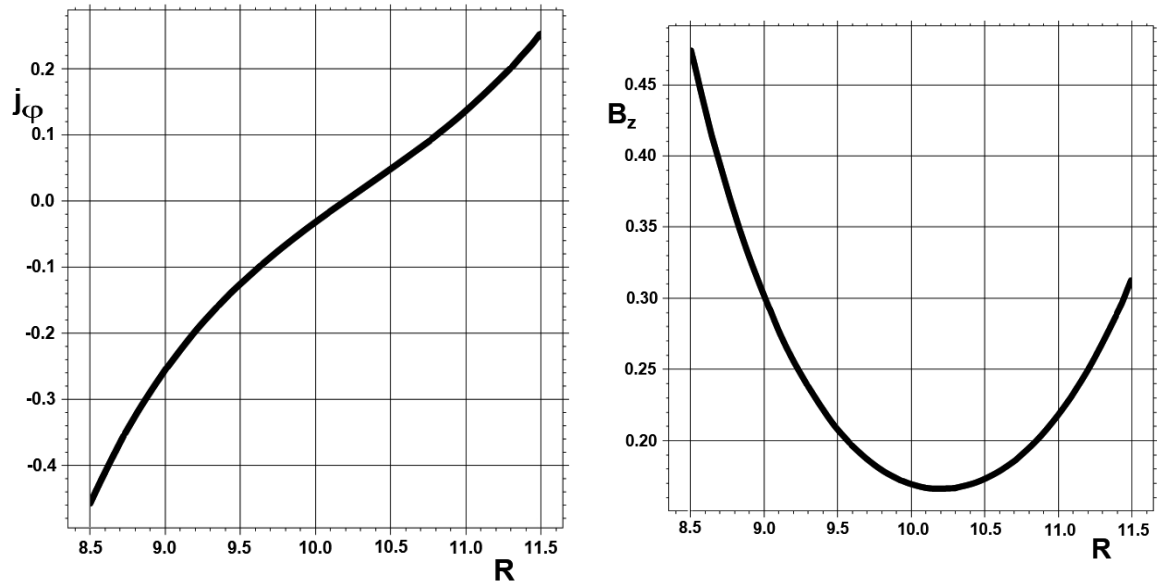


Рис. 2. Радиальное распределение плотности тока (слева) и продольной компоненты магнитного поля (справа)

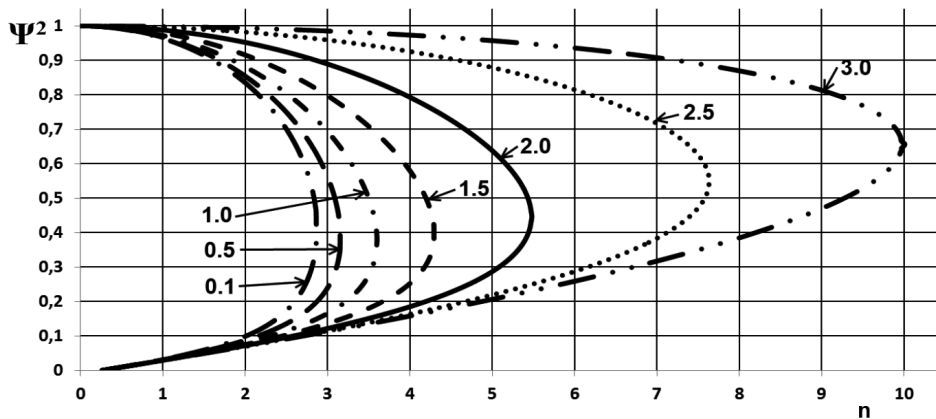


Рис. 3. Зависимость среднего значения квадрата амплитуды параметра порядка от квантового числа  $n$ , рассматриваемого как непрерывная переменная, для различной ширины кольца при среднем радиусе  $R = 10$

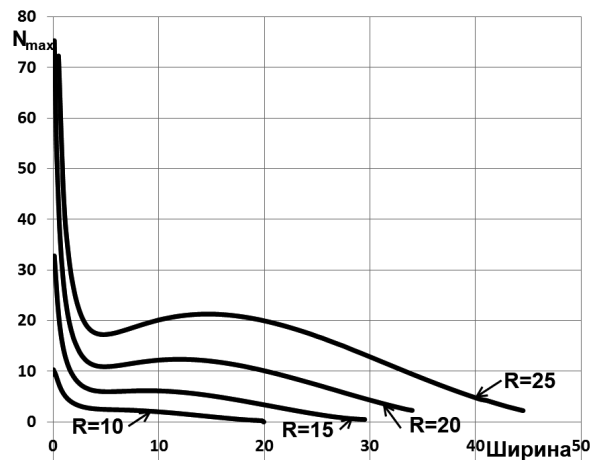


Рис. 4. Зависимость максимального значения квантового числа  $n_{\max}$  от ширины кольца при различных значениях  $R$

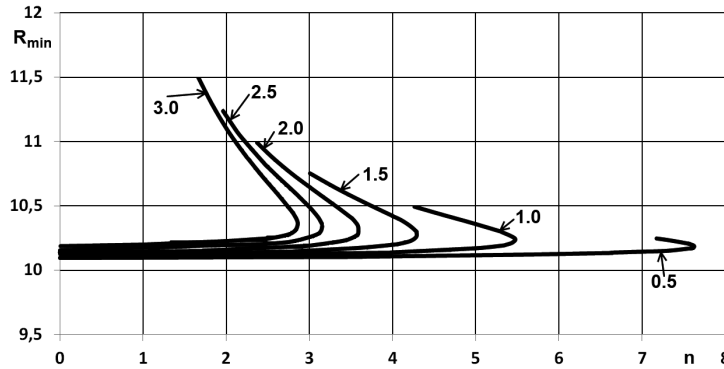


Рис. 5. Зависимость радиуса с минимальным значением тока от квантового числа  $n$  для колец разной ширины (отмечена на графиках) при среднем радиусе  $R = 10$

где  $C_1, C_2$  — постоянные интегрирования. Компонента  $B_z$  индукции магнитного поля вычисляется из соотношения  $\mathbf{B} = [\nabla \times \mathbf{A}]$

$$B_z(r) = \frac{1}{r} \frac{d}{dr} (r A_\varphi(r)) = 2C_1 \quad (17)$$

К уравнению (15) и его решению (16) необходимо сделать следующее замечание.

Магнитное поле, вектор-потенциал которого удовлетворяет исходному уравнению (2), представляет собой суперпозицию внешнего поля  $\mathbf{A}_{ext}$ , описываемого однородным уравнением  $[\nabla \times [\nabla \times \mathbf{A}_{ext}]] = 0$ , и поля, порождаемого сверхпроводящим током. В численных расчетах считалось, что вектор-потенциал является суперпозицией внешнего магнитного поля и магнитного поля, создаваемого сверхпроводящим током. В том случае, когда внешнее магнитное поле отсутствует, поле, создаваемое кольцом, должно обращаться в нуль при  $r \rightarrow \infty$ . Внешнее магнитное поле считается однородным, вектор индукции  $\mathbf{B}_{ext} = (0, 0, B_z^{ext})$  перпендикулярен плоскости кольца, и вектор-потенциал  $\mathbf{A}_{ext}$  содержит только компоненту  $A_\varphi^{ext}$ , равную  $\frac{1}{2} B_z^{ext} r$ , не обращающуюся в нуль на бесконечности.

Рассмотрим вначале решение (16) во внутренней части кольца  $0 \leq r \leq R_1$ . В этой области отсутствуют заряды и токи, поэтому потенциал должен быть всюду регулярен, следовательно,  $C_2 = 0$ . Если обозначить постоянное значение  $A_\varphi$  на внутренней границе кольца  $r = R_1$  через  $A_1$  (этот потенциал складывается из потенциала внешнего поля и потенциала, создаваемого током в кольце), то  $C_1 = \frac{A_1}{R_1}$ . Следовательно, зависимость  $A_\varphi(r)$  в области  $0 \leq r \leq R_1$  имеет вид  $A_\varphi(r) = A_1 \frac{r}{R_1}$ , а компонента  $B_z = \frac{2A_1}{R_1}$  — постоянна.

Вне кольца, т.е. при  $r > R_2$  ситуация при наличии и в отсутствие внешнего поля будет разная. Если внешнее магнитное поле отсутствует, то  $C_2 = 0$ , и  $A_\varphi(r) = A_2 \frac{R_2}{r}$ ,  $B_z = 0$  (здесь  $A_2$  — постоянное значение вектор-потенциала на внешней границе кольца). При наличии внешнего магнитного поля обе постоянные  $C_1$  и  $C_2$  отличны от нуля, причем  $C_2 = \frac{1}{2} B_z^{ext}$  и  $C_1 = A_2 - C_2 R_2$ , следовательно,  $A_\varphi(r) = (A_2 - C_2 R_2) \frac{R_2}{r} + C_2 r$ .

Рассмотрим теперь магнитное поле в области кольца, когда  $R_1 < r < R_2$ . Согласно численным расчетам, для узких колец параметр порядка  $f$  незначительно изменяется в радиальном направлении, следовательно, в первом приближении величину  $f$  можно считать постоянной. Тогда из уравнения Максвелла

$$\nabla^2 \mathbf{A} = -f^2 \mathbf{p},$$

и определения обобщенного импульса  $p$

$$\mathbf{p} = \frac{1}{\kappa} \nabla \theta - \mathbf{A},$$

с учетом того, что  $\theta = n\varphi$ , следует

$$\nabla^2 A - f^2 A = \frac{nf^2}{\kappa r},$$

где через  $A$  обозначена компонента  $A_\varphi$  вектор-потенциала  $\mathbf{A}$ . В плоскости  $z = 0$  в полярных координатах уравнение Максвелла имеет вид

$$r^2 \frac{d^2 A}{dr^2} + r \frac{dA}{dr} - (1 + f^2 r^2) A = \frac{nf^2}{\kappa} r.$$

Полагая  $x = fr$ ,  $A(r) = \frac{nf}{\kappa} u(x)$ , получаем

$$x^2 \frac{d^2 u}{dx^2} + x \frac{du}{dx} - (1 + x^2) u = x. \quad (18)$$

Решение последнего уравнения имеет вид

$$u(x) = C_1' I_1(x) + C_2' K_1(x) - \frac{1}{x},$$

или, возвращаясь к старым обозначениям

$$A(r) = C'_1 I_1(fr) + C'_2 K_1(fr) - \frac{n}{\kappa r}, \quad (19)$$

где  $I_1(x)$ ,  $K_1(x)$  — модифицированные функции Бесселя ранга 1,  $C'_1$ ,  $C'_2$  — постоянные интегрирования, для определения которых используем свойство непрерывности вектор-потенциала и тангенциальной составляющей индукции магнитного поля в плоскости  $z = 0$  на внутренней и внешней границах кольца

$$B_z(r) = \frac{1}{r} \frac{d}{dr} (rA(r)) = \frac{f}{x} \frac{d}{dx} (xA(x)),$$

откуда, с учетом тождества для функций Бесселя  $Z_n(x)$

$$\frac{d}{dx} (xZ_1(x)) = Z_0(x)$$

получаем

$$B_z(x) = fC'_1 \frac{I_0(x)}{x} + fC'_2 \frac{K_0(x)}{x}. \quad (20)$$

В случае  $n = 0$  вместо уравнения (18) имеем однородное уравнение

$$x^2 \frac{d^2 A}{dx^2} + x \frac{dA}{dx} - (1 + x^2) A = 0,$$

решение которого имеет вид

$$A(x) = C'_1 I_1(x) + C'_2 K_1(x),$$

а выражение для индукции магнитного поля не меняется.

Рассмотрим далее, случай отсутствия внешнего магнитного поля. В области  $r < R_1$   $A_\varphi(r) = A_1 \frac{r}{R_1}$ ,  $B_z = \frac{2A_1}{R_1}$ , тогда при  $r = R_1$  получаем первые два уравнения системы для определения коэффициентов  $C'_1$ ,  $C'_2$ ,  $A_1$ ,  $A_2$

$$C'_1 I_1(fR_1) + C'_2 K_1(fR_1) - \frac{n}{\kappa R_1} = A_1,$$

$$C'_1 I_0(fR_1) + C'_2 K_0(fR_1) = 2A_1. \quad (21)$$

В области  $r > R_2$   $A_\varphi(r) = A_2 \frac{R_2}{r}$ ,  $B_z = 0$  и при  $r = R_2$  получаем еще два уравнения системы

$$C'_1 I_1(fR_2) + C'_2 K_1(fR_2) - \frac{n}{\kappa R_2} = A_2,$$

$$C'_1 I_0(fR_2) + C'_2 K_0(fR_2) = 0. \quad (22)$$

Решая систему (21)–(22), получаем следующие выражения для коэффициентов  $C'_1$ ,  $C'_2$  (выражения для  $A_1$ ,  $A_2$  не приводятся ввиду их сложности)

$$C'_1 = \frac{2nK_0(fR_2)}{\kappa R_1 \Delta}, \quad C'_2 = -\frac{2nI_0(fR_2)}{\kappa R_1 \Delta},$$

где

$$\begin{aligned} \Delta = & 2K_0(fR_2) I_1(fR_1) - \\ & - 2K_1(fR_1) I_0(fR_2) + \\ & + K_0(fR_1) I_0(fR_2) - K_0(fR_2) I_0(fR_1), \end{aligned}$$

— определитель системы (21)–(22).

При  $n = 0$  система уравнений (21)–(22) становится однородной, и условием существования ненулевого решения является обращение в нуль ее определителя  $\Delta$ . По-видимому, различие в поведении тока сверхпроводимости при  $n = 0$  и  $n \neq 0$  связано с тем, что в отсутствие внешнего поля при  $n = 0$  токовое состояние в кольце не возникает. В присутствии же внешнего магнитного поля возникает собственное магнитное поле кольца, которое полностью компенсирует внешнее магнитное поле до тех пор, пока поток внешнего магнитного поля через отверстие кольца не достигнет величины  $\Phi_0/2$ , где  $\Phi_0$  — квант магнитного потока (флюксон) [7].

Итак, на основании вышеизложенного, можно сделать следующие выводы:

1) Квантование магнитного потока в широких кольцах происходит по эквидистантному механизму: магнитный поток через отверстие кольца кратен целому числу флюксонов.

2) Максимальное значение квантового числа  $n$ , соответствующее числу захваченных квантов магнитного потока зависит не только от радиуса кольца, но также и от его ширины. С увеличением ширины кольца величина  $n_{\max}$  немонотонно уменьшается.

3) Ток в сверхпроводящем кольце конечной ширины не вносит вклада в магнитное поле вне кольца.

### Литература

1. Гуртовой В. Л., Дубонос С. В., Никулов А. В., Осипов Н. Н., Тулин В. А. Зависимость величины и направления устойчивого тока от величины магнитного потока в сверхпроводящих кольцах // ЖЭТФ. 2007. Т. 132. С. 1320–1339.
2. Tinkham M. Introduction to Superconductivity. McGraw-Hill Inc., 1996. 472 p.
3. Абрикосов А. А. Основы теории металлов. М.:

- Физматлит, 2009. 600 с.
4. Vodolazov D. Y., Baelus B. J., Peeters F. M. Stationary-phase slip state in quasi-one-dimensional rings // *Physical Review B*. 2002. Vol. 66. 054531. P. 1–6.
  5. Третьяк Д. Н., Тумаев Е. Н. Неоднозначность токового состояния одномерного сверхпроводящего кольца // *Экологический вестник научных центров Черноморского экономического сотрудничества*. 2013. № 1. С. 60–67.
  6. Ландау Л. Д., Лифшиц Е. М. *Электродинамика сплошных сред*. М.: Физматлит, 2003. 620 с.
  7. Третьяк Д. Н., Тумаев Е. Н. Численное исследование спектра устойчивых состояний сверхпроводящего мезоскопического кольца конечной ширины во внешнем магнитном поле // *Известия Кубанского государственного университета. Естественные науки*. 2012. № 1. С. 28–31.

### References

1. Gurtovoj V.L., Dubonos S.V., Nikulov A.V., Osipov N.N., Tulin V.A. Zavisimost' velichiny i napravlenija ustojchivogo toka ot velichiny magnitnogo potoka v sverhprovodjashhiih kol'cah [The dependence of the magnitude and direction of sustainable current of the magnetic flux in superconducting rings]. *Zhurnal eksperimental'noj i teoreticheskoj fiziki* [Journal of Experimental and Theoretical Physics], 2007. vol. 132, pp. 1320–1339. (In Russian)
2. Tinkham M. *Introduction to Superconductivity*. McGraw-Hill Inc., 1996, 472 p.
3. Abrikosov A.A. *Osnovy teorii metallov* [Fundamentals of the theory of metals]. Moscow, Fizmatlit Publ., 2009, 600 p. (In Russian)
4. Vodolazov D. Y., Baelus B. J., Peeters F. M. Stationary-phase slip state in quasi-one-dimensional rings. *Physical Review B*, 2002, vol. 66 (054531), pp. 1–6. DOI: <http://dx.doi.org/10.1103/PhysRevB.66.054531>.
5. Tretjak D.N., Tumaev E.N. Neodnoznachnost' tokovogo sostojanija odnomernogo sverhprovodjashhego kol'ca [The ambiguity of the current state of one-dimensional superconducting ring]. *Ekologicheskij vestnik nauchnyh centrov Chernomorskogo ekonomicheskogo sotrudnichestva* [Ecological Bulletin of Research Centers of the Black Sea Economic Cooperation], 2013, no. 1, pp. 60–67. (In Russian)
6. Landau L.D., Lifshic E.M. *Elektrodinamika sploshnyh sred* [Electrodynamics of Continuous Media]. Moscow, Fizmatlit Publ., 2003, 620 p. (In Russian)
7. Tretjak D.N., Tumaev E.N. Chislennoe issledovanie spektra ustojchivyh sostojanij sverhprovodjashhego mezoskopicheskogo kol'ca konechnoj shiriny vo vneshnem magnitnom pole [Numerical study of the spectrum of stable states of mesoscopic superconducting rings of finite width in an external magnetic field]. *Izvestija Kubanskogo gosudarstvennogo universiteta. Estestvennye nauki* [Proc. of the Kuban State University. Natural sciences], 2012, no. 1, pp. 28–31. (In Russian)

Статья поступила 13 июня 2013 г.

© Третьяк Д. Н., Тумаев Е. Н., 2014